

УДК 620.193

## ВЛИЯНИЕ ПРИРОДЫ РАСТВОРИТЕЛЯ НА НАВОДОРОЖИВАНИЕ СТАЛИ В КИСЛЫХ СРЕДАХ В УСЛОВИЯХ КАТОДНОЙ ПОЛЯРИЗАЦИИ

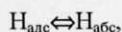
**© Т.П. Дьячкова, Е.Ю. Копылова, Л.Е. Цыганкова, В.И. Вигдорович**

Dyachkova T.P., Kopylova E.Y., Tsygankova L.E., Vigdorovich V.I. The influence of solvent nature on hydrogen penetration into steel in acidic media under cathodic polarisation. The article studies hydrogen penetration into carbonaceous steel in aqueous and ethylene glycol acidic chloride media under cathodic polarisation. The influence of solvent nature is shown. The connection of hydrogen penetration flow and the cathodic hydrogen evolution mechanism is analysed.

Наводороживание металлов в электролитах – весьма распространенное явление, сопровождающее многие технологические операции в машиностроении и металлургии, а также коррозионные процессы. Водород в металлах имеет чрезвычайно высокий коэффициент диффузии и влияет на механические свойства, способствуя возникновению водородной хрупкости. Важное значение приобретает установление закономерностей наводороживания при различных условиях.

В предыдущих работах [1, 2] начато изучение влияния природы и состава растворителя на поток диффузии водорода через стальную мембрану и кинетику восстановления ионов водорода на железе армко в растворах системы  $C_2H_4(OH)_2-H_2O-HCl$ . Показано [1], что скорость диффузии водорода  $i_H$  возрастает с повышением концентрации воды в смешанном растворителе при прочих равных условиях. Одновременно величина  $i_H$  не коррелирует с изменением лимитирующей стадии реакции восстановления ионов водорода [2]. Так, в условно безводных ( $0,1\ldots 0,4$  мас. % воды) этиленгликолевых и чисто водных средах полученные кинетические параметры восстановления ионов водорода на железе свидетельствуют о замедленности реакции Фольмера. Однако величина  $i_H$  в водных 1 М растворах HCl оказалась значительно выше, чем в аналогичных у.б. этиленгликолевых средах.

Дополнительным критерием оценки механизма восстановления ионов водорода может служить характер изменения  $i_H$  при катодной поляризации, так как в условиях равновесия



а поток твердофазной диффузии водорода в металл, с одной стороны, пропорционален степени заполнения поверхности металла адсорбированным атомарным водородом ( $\theta_H$ ), а с другой – скорости электрохимического восстановления протонов.

В условиях саморастворения металла с водородной деполяризацией ток коррозии складывается из двух составных частей:

$$i_{\text{кор}} = i_H + i_M,$$

где  $i_{\text{кор}}$  – ток коррозии;  $i_M$  – скорость реакции молализации водорода с выделением  $H_2$  в газовую фазу.

При катодной поляризации:

$$i_K = i_H + i_M,$$

где  $i_K$  – скорость катодного процесса.

Примем  $i_H / i_K = \rho$ . Тогда величина  $\rho$  характеризует долю  $H_{\text{адс}}$ , диффундирующего в металле.

В настоящей работе проанализировано изменение величин  $i_H$ ,  $i_K$  и  $\rho$  при катодной поляризации стальной мембранны в у.б. этиленгликолевых и водных растворах состава  $x$  M HCl +  $(1 - x)$  M LiCl, т. е. при постоянной ионной силе.

Как известно, поляризацию электрода можно проводить в двух режимах: потенциостатическом и гальваностатическом. Использование гальваностатической поляризации позволяет избежать усреднения внешнего поляризующего тока и кулонометрирования, однако оно может быть связано с изменениями потенциала во времени и, следовательно, с различиями в величине заряда поверхности металла и условиях латеральной диффузии  $H_{\text{адс}}$ . В данном случае предпочтительнее потенциостатическая поляризация, поскольку необходимо поддержание постоянства потенциала; усредненная величина  $i_K$  определяется по кулонометрическим данным, что и было осуществлено практически. Ток диффузии водорода в металлы определяли по методике, описанной в [3].

На рис. 1–3 представлены зависимости  $i_H$ ,  $i_K$  и  $\rho$  от величины смещения потенциала стальной мембранны от  $E_{\text{кор}}$  в катодную область ( $|ΔE|$ ) в водных растворах HCl. Во всех трех случаях зависимость плотности катодного тока от потенциала электрода характеризуется наличием трех участков (рис. 1–3; кривая 2). Область  $GH$  соответствует тафелевскому участку катодных поляризационных кривых. Здесь скорость процесса:



определяется кинетическими закономерностями с указанными в [2] параметрами.

Участок  $HK$ , вероятнее всего, является областью смешанной кинетики, когда скорости собственно реакции (1) и массопереноса соизмеримы. Возможно, с ростом  $|ΔE|$  вклад диффузионных ограничений возрастает. Однако выхода кривой  $i_K = f(|ΔE|)$  на предельный ток не

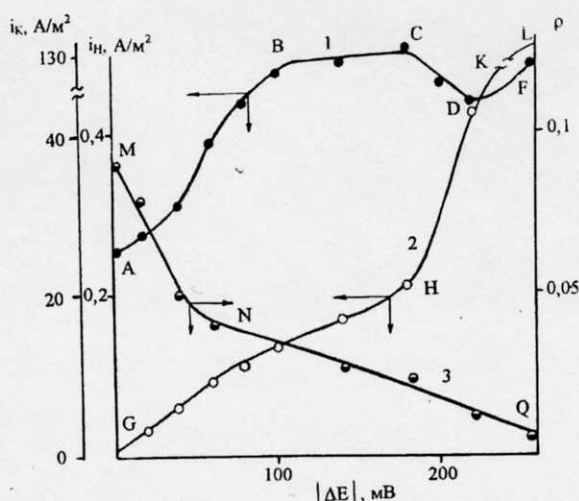


Рис. 1. Влияние уровня катодной поляризации стальной мембранны (Ст3) на величины  $i_H$  (кривая 1),  $i_K$  (кривая 2) и  $\rho$  (кривая 3) в водном растворе состава 0,9 М HCl + 0,1 М LiCl. Комнатная температура

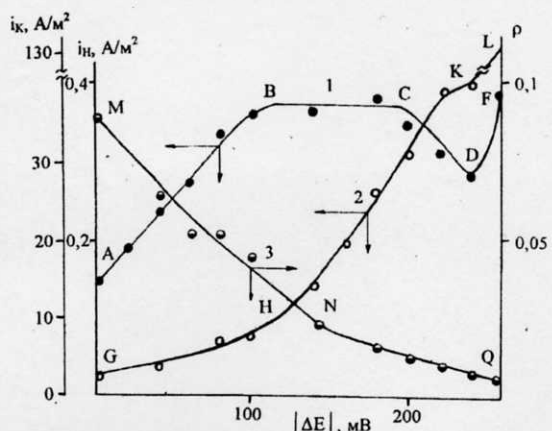


Рис. 2. Влияние уровня катодной поляризации стальной мембранны (Ст3) на величины  $i_H$  (кривая 1),  $i_K$  (кривая 2) и  $\rho$  (кривая 3) в водном растворе состава 0,5 М HCl + 0,5 М LiCl. Комнатная температура

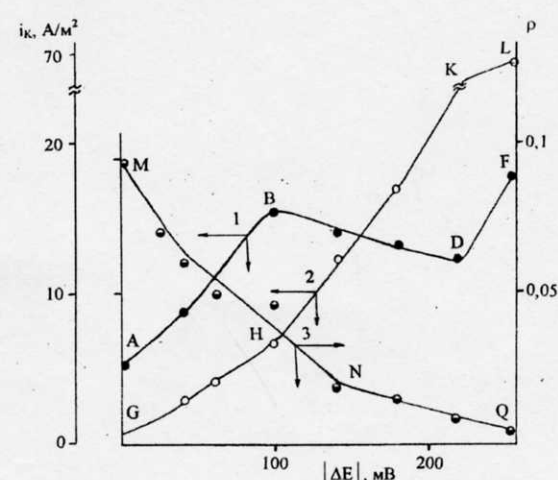


Рис. 3. Влияние уровня катодной поляризации стальной мембранны (Ст3) на величины  $i_H$  (кривая 1),  $i_K$  (кривая 2) и  $\rho$  (кривая 3) в водном растворе состава 0,1 М HCl + 0,9 М LiCl. Комнатная температура

наблюдается, т. к. при  $|\Delta E| > 220$  мВ начинается разряд молекул воды и  $i_K$  резко возрастает (участок  $KL$ ).

Зависимость  $i_H$  от  $|\Delta E|$  в 0,5 и 0,9 М HCl характеризуется наличием четырех участков (кривые 1 на рис. 1 и 2). На участке  $AB$  ( $|\Delta E| < 100$  мВ) происходит увеличение  $i_H$  с ростом  $|\Delta E|$  и, соответственно,  $i_K$ , на участке  $BC$  ( $0,1 \leq |\Delta E| \leq 0,18$  В)  $i_H = \text{const}$ , затем  $i_H$  начинает снижаться (участок  $CD$ ), но при достижении потенциала разряда молекул воды  $i_H$  вновь возрастает (участок  $DF$ ), достигнув или даже превысив значение на участке  $BC$ . Исследовать изменение  $i_H$  и  $i_K$  при  $|\Delta E| > 260$  мВ не удалось вследствие интенсивного газовыделения на стальной мембране. Несколько иная зависимость  $i_H$  от  $|\Delta E|$  наблюдается в водном 0,1 М растворе HCl (кривая 1 на рис. 3). Область  $i_H = \text{const}$  практически отсутствует, на участке  $BD$  наблюдается снижение  $i_H$  с ростом  $|\Delta E|$ . Однако характер изменения  $i_H$  на участках  $AB$  и  $DF$  аналогичен наблюдаемому в 0,9 и 0,5 М HCl.

Величина  $\rho$  во всех трех случаях снижается с ростом  $|\Delta E|$ . Но кривую  $\rho = f(|\Delta E|)$  легко разделить на два участка. В области  $MN$   $d\rho/d|\Delta E|$  значительно выше, чем в области  $NQ$ . Причем, по мере снижения  $C_{H^+}$  в растворе продолжительность  $NQ$  уменьшается.

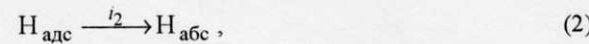
Легко заметить, что зависимости  $i_H$ ,  $i_K$  и  $\rho$  от уровня катодной поляризации стальной мембранны в у.б. этиленгликоловых растворах HCl и соответствующих водных характеризуются наличием общих черт (рис. 4–6), но имеются и различия.

На кривых  $i_K = f(|\Delta E|)$  также наблюдаются участки с кинетическим (рис. 4–5, кривая 1, участок  $AH$ ; рис. 6, кривая 1, участок  $GH$ ) и диффузионно-кинетическим (рис. 4–6, кривая 1, участок  $HK$ ) контролем скорости катодного процесса. Однако в у.б. этиленгликоловых средах после области смешанной кинетики кривая  $i_K = f(|\Delta E|)$  выходит на предельный ток ( $KL$  на кривых 1 рис. 4–6).

Зависимость плотности потока твердофазной диффузии водорода в сталь от величины  $|\Delta E|$  в этиленгликоловых растворах с  $C_{HCl} = 0,5 \dots 0,9$  моль/л характеризуется наличием трех участков. На участке  $AB$  (кривые 2, рис. 4–5) так же, как и в аналогичных водных средах, происходит увеличение  $i_H$  симбатно  $|\Delta E|$  и  $i_K$ . Далее следует область с  $i_H = \text{const}$ , что характерно и для водных растворов (участок  $BC$  кривых 2 на рис. 4–5). И, наконец, имеется участок  $CD$  (кривые 2 рис. 4–5), на котором происходит снижение  $i_H$  с ростом катодной поляризации. В 0,1 М HCl в у.б. этиленгликоле на зависимости  $i_H = f(|\Delta E|)$  (рис. 6, кривая 2) отсутствует область  $i_H = \text{const}$ , что наблюдалось и в водном растворе с аналогичным составом электролита. Однако в этиленгликоловых средах нет участка дальнейшего возрастания  $i_H$ , связанного с началом разряда молекул растворителя, поскольку в исследованной области  $|\Delta E|$  потенциал разряда молекул этиленгликоля не был достигнут.

Снижение  $i_H$  с ростом  $|\Delta E|$  в этиленгликоловых растворах происходит в области предельного тока ( $i_K = \text{const}$ ). Причем  $i_K \gg i_H$ . Последнее обусловлено тем, что атомы  $H_{\text{адс}}$  удаляются с поверхности металла по двум маршрутам:

1) путем диффузии в металлы



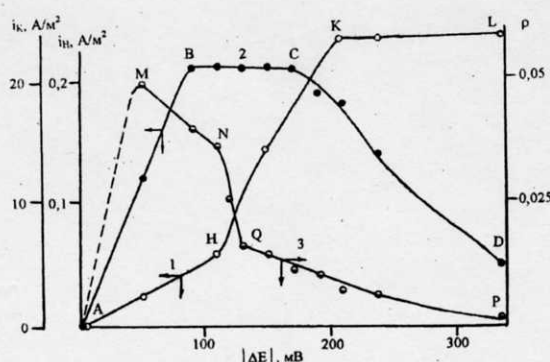


Рис. 4. Влияние уровня катодной поляризации стальной мембранны (Ст3) на величины  $i_K$  (кривая 1),  $i_H$  (кривая 2) и  $\rho$  (кривая 3) в у.б. этиленгликоловом растворе состава 0,9 М HCl + 0,1 М LiCl. Комнатная температура

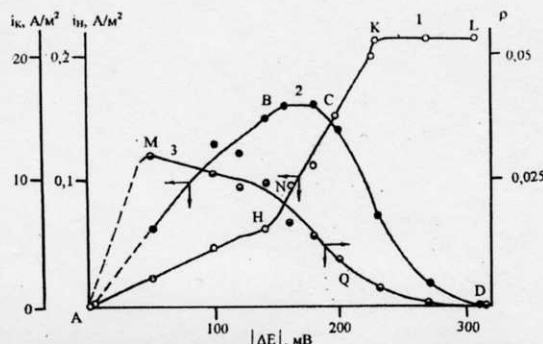


Рис. 5. Влияние уровня катодной поляризации стальной мембранны (Ст3) на величины  $i_K$  (кривая 1),  $i_H$  (кривая 2) и  $\rho$  (кривая 3) в у.б. этиленгликоловом растворе состава 0,5 М HCl + 0,5 М LiCl. Комнатная температура

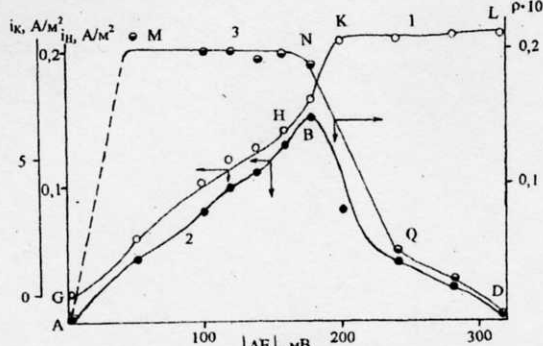
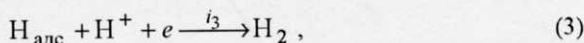
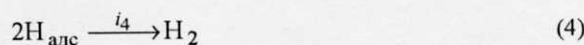


Рис. 6. Влияние уровня катодной поляризации стальной мембранны (Ст3) на величины  $i_K$  (кривая 1),  $i_H$  (кривая 2) и  $\rho$  (кривая 3) в у.б. этиленгликоловом растворе состава 0,1 М HCl + 0,9 М LiCl. Комнатная температура

2) за счет молизации посредством либо электрохимической десорбции:



либо рекомбинации:



с последующим выделением  $H_2$  в газовую фазу.

В водных средах снижение  $i_H$  наблюдается в области диффузионно-кинетического контроля и, кроме того, эта величина в 2–2,4 раза больше, чем в соответствующих этиленгликоловых растворах (в области  $i_H = \text{const}$ ). При глубокой катодной поляризации  $i_H$  в этиленгликоловых растворах снижается практически до нуля, а в водных, наоборот, после незначительного снижения в диффузионно-кинетической области наблюдается небольшое повышение при достижении потенциала разряда молекул воды.

На зависимости  $\rho = f(\Delta E)$  в у.б. этиленгликоловых растворах различного состава (кривые 3 на рис. 4–6) можно обозначить 4 участка. Сначала с ростом катодной поляризации стальной мембранны до  $|\Delta E| = 50$  мВ  $\rho$  увеличивается (участок  $AM$ ). Далее  $\rho$  систематически снижается. Причем при  $0,05 \text{ В} \leq |\Delta E| \leq 0,1 \text{ В}$  и при  $|\Delta E| > 0,13 \text{ В}$  в 0,9 и 0,5 М растворах HCl (рис. 4 и 5) величины  $d\rho/d\Delta E$  близки. Между этими областями имеется узкий интервал катодных потенциалов со значительно большим  $d\rho/d\Delta E$ . В 0,1 М HCl участок  $MN$  (кривая 3, рис. 6) представляет собой практически пла-то, на котором  $\rho = \text{const}$ . Затем идет участок  $NQ$ , на котором происходит резкое снижение  $\rho$ , а на участке  $QD$   $d\rho/d\Delta E$  заметно снижается. Т. е., в целом, характер изменения  $\rho$  с ростом  $|\Delta E|$  в этиленгликоловых растворах заметно отличается от такового в водных средах.

Наличие предельного тока на кривой  $i_K = f(\Delta E)$  в у.б. этиленгликоловых растворах HCl (рис. 4–6) может быть обусловлено диффузионными ограничениями либо подвода сольватированного протона из объема раствора, либо латеральной диффузии адсорбированных H-атомов – участников реакции (3) и (4).

В первом случае  $i_{\text{пред}}$  должен зависеть от гидродинамических условий и концентрации  $ROH_2^+$  в приэлектродном слое раствора. Согласно полученным данным, в у.б. этиленгликоловых растворах состава 0,9 М HCl + 0,1 М LiCl (рис. 4) и 0,5 М HCl + 0,5 М LiCl (рис. 5)  $i_{\text{пред}}$  изменяется в пределах от  $21 \text{ A/m}^2$  (0,5 М HCl) до  $23 \text{ A/m}^2$  (0,9 М HCl), т. е. изменение концентрации доноров протонов почти в 2 раза практически не сказывается на величине  $i_{\text{пред}}$ .

С целью выявления влияния гидродинамических условий было предпринято исследование зависимости  $i_K$  от частоты вращения стального дискового электрода ( $\omega$ ). На рис. 7 показано, что в 0,5 и 0,9 М HCl зависимость  $i_K$  от  $\sqrt{\omega}$  на всех участках катодных поляризационных кривых отсутствует. Появляется она только в области глубокой катодной поляризации ( $|\Delta E| = 320$  мВ) в 0,1 М HCl (рис. 8А, кривая 1). Причем, величина  $i_{\text{пред}}$  в этом растворе равна  $\sim 11 \text{ A/m}^2$ , т. е. значительно снижается по сравнению с таковой в 0,9 и 0,5 М HCl. При снижении концентрации HCl в растворе до 0,01 и 0,005 моль/л зависимость  $i_K$  от  $\sqrt{\omega}$  принимает все более четкий линейный характер даже при смещении потенциала электрода от  $E_{\text{кор}}$  на 50 и 150 мВ (рис. 8Б и 8В).

Таким образом, можно сделать вывод, что в 0,9 и 0,5 М растворах HCl величина предельного катодного тока определяется латеральной диффузии адсорбированных атомов водорода. При снижении концентрации

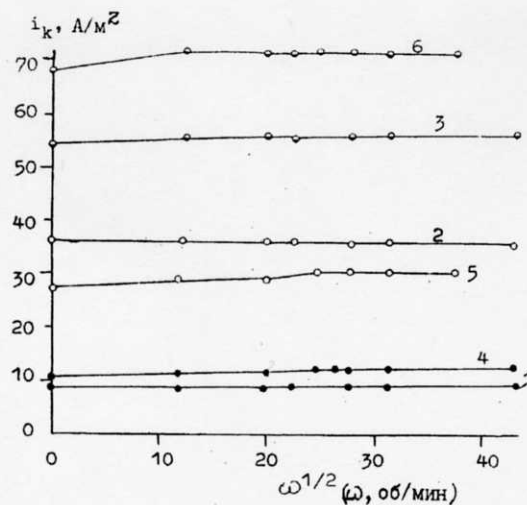


Рис. 7. Влияние скорости вращения дискового электрода из углеродистой стали Ст3 на величину катодного тока в этиленгликолевых растворах при сдвиге потенциала от  $E_{\text{кор}}$ , В: 1 и 4 – 0,05; 2 – 0,18; 3 и 6 – 0,24; 5 – 0,15. Состав электролита: 1 – 3: 0,5 М HCl + 0,5 М LiCl; 4 – 6: 0,9 М HCl + 0,1 М LiCl. Комнатная температура. Водородная атмосфера

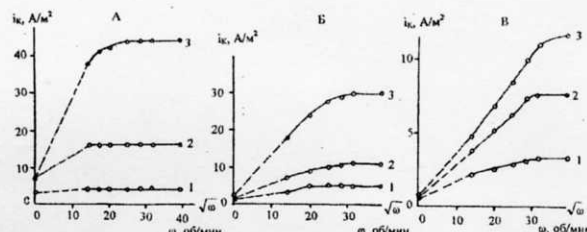


Рис. 8. Влияние скорости вращения дискового электрода из углеродистой стали Ст3 на величину плотности катодного тока в этиленгликолевых растворах состава А: 0,1 М HCl + 0,9 М LiCl; Б: 0,01 М HCl + 0,99 М LiCl; В: 0,005 М HCl + 0,995 М LiCl при сдвиге потенциала от  $E_{\text{кор}}$  на (мВ): 1 – 50; 2 – 150; 3 – 300

$\text{ROH}_2^+$  их подвод из объема раствора затрудняется и в растворах с  $C_{\text{HCl}} \leq 0,01$  моль/л объемная диффузия протонов начинает лимитировать весь процесс в целом.

Рассмотрим более подробно характер изменения  $i_{\text{H}}$  с ростом  $|\Delta E|$ . Очевидно, что электролитическое на-водороживание металла происходит по реакции (2). Как указывалось выше,  $i_{\text{H}}$  является функцией  $\theta_{\text{H}}$ , которая, в свою очередь, определяется механизмом катодного процесса. Согласно [4], для железа, являющегося основным компонентом сталей, наряду с замедленностью стадии разряда (1) необходимо учитывать и медленность удаления водорода с поверхности (2–4). Можно предположить, что по мере смещения потенциала стальной мембранны в катодную область как в кислых этиленгликолевых, так и в кислых водных растворах наряду с увеличением  $\theta_{\text{H}}$  происходит и ускорение удаления  $\text{H}_{\text{адс}}$ . При небольших значениях  $|\Delta E|$  превалирует первый эффект, т. е. смещение потенциала мембранны в катодную область приводит к повышению концентрации  $\text{H}_{\text{адс}}$  на поверхности металла. В этиленгликолевых растворах при этом возрастает и доля  $\text{H}_{\text{адс}}$ , диффундирующих в металл (восходящая ветвь кривых  $\rho = f(\Delta E)$ , рис. 4–6). В водных средах  $\rho$ , наоборот,

снижается (кривая 3, рис. 1–3), однако  $\theta_{\text{H}}$  возрастает настолько, что, несмотря на снижение  $\rho$ ,  $i_{\text{H}}$  увеличивается, но темп его роста отстает от темпа роста  $i_{\text{K}}$ . Обратное соотношение этих темпов в этиленгликолевых средах свидетельствует о большей заторможенности латеральной диффузии  $\text{H}_{\text{адс}}$ , а следовательно, и их моли-зации, чем в водных растворах.

При небольших  $\theta_{\text{H}}$  удаление  $\text{H}_{\text{адс}}$ , вероятнее всего, происходит по рекомбинационному механизму (4). Известно, что скорость реакции рекомбинации пропорциональна квадрату поверхностной концентрации  $\text{H}_{\text{адс}}$  [4, 5]:

$$i_4 = k[\text{H}_{\text{адс}}]^2$$

Таким образом, рост плотности тока должен приводить к повышению концентрации адсорбированных атомов водорода на поверхности электрода, а следовательно, и к увеличению на-водороживания металла (восходящая ветвь кривых  $i_{\text{H}} = f(\Delta E)$  на рис. 1–6). При определенной плотности тока  $\theta_{\text{H}}$  достигает предельного значения, при этом  $i_{\text{H}}$  остается постоянным (участки с  $i_{\text{H}} = \text{const}$  на рис. 1, 2, 4 и 5). Однако затем происходит снижение  $i_{\text{H}}$ . А в 0,1 М HCl вообще нет участка с  $i_{\text{H}} = \text{const}$  (рис. 3 и 6). По-видимому, при высоких плотностях катодного тока удаление  $\text{H}_{\text{адс}}$  с поверхности электрода становится более вероятным по механизму электрохимической десорбции (3). Подобная точка зрения рассматривается и в литературе [4, 5]. В данном случае разряд протонов не увеличивает, а уменьшает  $\theta_{\text{H}}$ , что, естественно, приводит к уменьшению количества водорода, диффундирующего в металл.

Согласно полученным данным, область потенциалов, при которых удаление  $\text{H}_{\text{адс}}$  происходит по реакции Тафеля, сужается при переходе к 0,1 М HCl. Наличие на кривых  $i_{\text{H}} = f(\Delta E)$  в водных средах участков DF (рис. 1–3, кривая 1) связано с протеканием процесса разряда молекул воды, который служит источником значительного дополнительного количества  $\text{H}_{\text{адс}}$ .

Характер изменения  $i_{\text{H}}$  и  $\rho$  при катодной поляризации стальной мембранны можно объяснить иначе. Согласно многочисленным литературным данным, железо – металл с энергетически неоднородной поверхностью. Характеризуя активность адсорбционных центров посредством теплоты адсорбции ( $\Delta H_{\text{адс}}$ ) ад-атомов водорода, можно допустить, что в одном интервале величин  $\Delta H_{\text{адс}}$  ( $\Delta H_{\text{адс},1}$ ) адсорбция способствует диффузии водорода в металл, в другом ( $\Delta H_{\text{адс},2}$ ) – наоборот, ускорению моли-зации. Поскольку  $i_{\text{H}}$  в водных средах гораздо выше, чем в этиленгликолевых, можно предположить, что в водных средах в первую очередь заполняются адсорбционные центры первого типа, а в этиленгликолевых – центры второго типа, что связано с характером пересольватации поверхности металла.

Рост катодной поляризации в водных растворах способствует заполнению преимущественно АЦ, характеризующимся теплотой адсорбции  $\Delta H_{\text{адс},2}$ . Поэтому величина  $\rho$  во всем интервале  $|\Delta E|$  снижается, но нуля не достигает, поскольку на поверхности металла все же остаются АЦ, на которых происходит диффузия  $\text{H}_{\text{адс}}$  в глубь металла.

Начальный участок роста  $i_{\text{H}}$  (AB на рис. 1–3) связан с ростом  $\theta_{\text{H}}$ , т. е. увеличивается общая степень заполнения

водородом. И хотя преимущественно происходит адсорбция  $H_{\text{адс}}$  на АЦ, ответственных за молизацию, дополнительные количества атомарного водорода поступают также на АЦ, где происходит процесс (2). По мере роста  $i_K$  все более заметной становится роль адсорбционных центров второго типа. Это приводит к стабилизации  $i_H$  ( $i_H = \text{const}$ ) в 0,9 и 0,5 М HCl или  $i_H = i_H^{\max}$  в 0,1 М HCl, а затем к ее снижению. При этом  $\rho$  постоянно уменьшается. Но при достижении потенциала разряда молекул воды общая скорость процесса резко увеличивается.  $\theta_H$  снова возрастает и часть  $H_{\text{адс}}$  вновь попадает на АЦ первого типа, что ведет к увеличению  $i_H$  при одновременном снижении  $\rho$ . Это говорит о том, что скорость процесса (2) все же значительно меньше, чем суммарная скорость процессов (3) и (4):  $i_2 \ll i_3 + i_4$ .

В этиленгликолевых растворах с ростом  $i_H$  вначале повышается вклад АЦ первого типа и реализуется восходящий участок кривых  $i_H = f(\Delta E)$  и  $\rho = f(\Delta E)$  (рис. 4–6). Однако по мере сдвига потенциала электрода в отрицательную сторону начинают преимущественно заполняться АЦ второго типа. Это приводит к  $i_H = \text{const}$  (в 0,9 и 0,5 М HCl – рис. 4, 5) при одновременном снижении  $\rho$  или к  $i_H = i_H^{\max}$  (в 0,1 М HCl – рис. 6). Дальнейший

рост катодной поляризации меняет природу адсорбционных центров первого типа, что может быть выражено в изменении величины  $\Delta H_{\text{адс}}$ . При этом на них облегчается протекание реакции молизации. Происходит одновременное снижение  $i_H$  и  $\rho$  практически до нуля.

Это можно объяснить тем, что процесс по механизму с последовательными стадиями (1) и (3) протекает при  $\theta_H$ , близкий к нулю. Однако замедленность стадии (3) предполагает зависимость  $i_K$  от  $\Delta E$  и в области  $KL$  (кривые 2, рис. 4–6), что на практике не наблюдается. Таким образом, объяснить полученные результаты с единых позиций не удается.

## ЛИТЕРАТУРА

1. Вигдорович В.И., Цыганкова Л.Е., Машкова Т.П. // Вестн. ТГУ. Сер. Естеств. и технич. науки. Тамбов, 1998. Т. 3. Вып. 4. С. 368–372.
2. Вигдорович В.И., Цыганкова Л.Е., Машкова Т.П. // Вестн. ТГУ. Сер. Естеств. и технич. науки. Тамбов, 1999. Т. 4. Вып. 1. С. 28–34.
3. Кардаш Н.В., Батраков В.В. // Защита металлов. 1995. Т. 31. № 4. С. 441–444.
4. Фрумкин А.Н., Багоцкий В.С., Иоффе З.А., Кабанов Б.Н. Кинетика электродных процессов. М.: Изд-во МГУ, 1952.
5. Фрумкин А.Н. // Журн. физ. химии. 1957. Т. 31. С. 1875.

Поступила в редакцию 14 ноября 2000 г.